

# Compression d'images avec les fractales

Alexandre Boucher & Pierre-Olivier Parisé

Concepts avancés en mathématiques et informatique  
appliquées

11 janvier 2016

# Introduction

## Rappels

## Méthodologie

## Résultats

## Conclusion

# Introduction

## Remise en contexte :

- Les images : supports omniprésents dans notre quotidien.
- Nécessité d'algorithmes pour la compression.
- L'apparition des fractales en 1980.

## Problématique :

- Algorithme JPEG dépend du spectre de Fourier et de la résolution de l'image.
- Comment les fractales peuvent-elles servir le domaine de la compression d'images ?

## Introduction

## Rappels

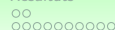
Sur les images

Sur les IFS

## Méthodologie

## Résultats

## Conclusion



# Sur les images

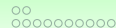
## Définition d'une image

### Une image :

- Composée de pixels ;
- Affectée de trois composantes
  - R : rouge ;
  - G : vert ;
  - B : bleu.

### Notation :

$$\begin{aligned} \mathcal{I} := & \{(x, y, R(x, y), G(x, y), B(x, y)) \\ & : 0 \leq x \leq l, 0 \leq y \leq h, \\ & 0 \leq R, G, B \leq 255\} \end{aligned}$$



# Sur les images

## Les systèmes de couleurs

### Autres représentations :

- *YUV* ;
- *YIQ* ;
- *HSV*.

# Sur les images

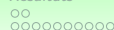
## Les systèmes de couleurs

### Passage de *RGB* à *YUV*

$$\begin{pmatrix} Y \\ U \\ V \end{pmatrix} = \begin{pmatrix} 0,299 & 0,587 & 0,114 \\ -0,147 & -0,289 & 0,436 \\ 0,615 & -0,515 & -0,100 \end{pmatrix} \begin{pmatrix} R \\ G \\ B \end{pmatrix}.$$

### Passage de *RGB* à *YIQ*

$$\begin{pmatrix} Y \\ I \\ Q \end{pmatrix} = \begin{pmatrix} 0,299 & 0,587 & 0,114 \\ 0,596 & -0,274 & -0,322 \\ 0,211 & -0,523 & 0,312 \end{pmatrix} \begin{pmatrix} R \\ G \\ B \end{pmatrix}.$$



# Sur les IFS

## Définition d'un IFS

**IFS** : Iterated function system.

**Formé** :

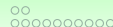
- de contractions  $w_i$  ;
- des facteurs de contractions  $s_i$ .

**Notation** :

$$\{\mathbb{R}^n; w_i, i = 1, 2, \dots, m\}$$

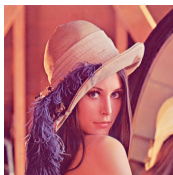
$$W(I) = \bigcup_{i=1}^m w_i(I).$$





# Exemple : le triangle de Sierpinski

Original



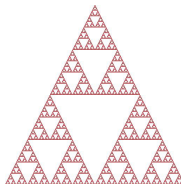
Itération 1



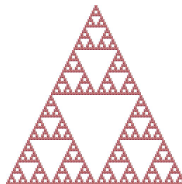
Itération 2



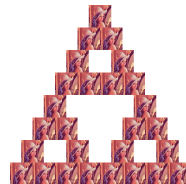
Itération 9



Itération 6



Itération 3



## Introduction

## Rappels

## Méthodologie

Première étape

Deuxième étape

Troisième étape

Quatrième étape

Cinquième étape

## Résultats

## Conclusion

## Première étape

Une image en entrée de taille  $2^k \times 2^k$ .

Passer de *RGB* à *YIQ* :

$$\begin{pmatrix} Y \\ I \\ Q \end{pmatrix} = \begin{pmatrix} 0,299 & 0,587 & 0,114 \\ 0,596 & -0,274 & -0,322 \\ 0,211 & -0,523 & 0,312 \end{pmatrix} \begin{pmatrix} R \\ G \\ B \end{pmatrix}.$$

Utilisation de *YIQ* :

- œil moins sensible à *I* et *Q* ;
- variance *I* et *Q* plus petite que *Y* ;
- réduction de la mémoire utilisée.

## Deuxième étape

### Partitionner l'image

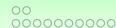
- Construire les « range blocks »  $R_i$ .
- Construire les « domain blocks »  $D_i$ .

### Les $R_i$ :

- taille de  $2^k \times 2^k$  ;
- sont disjoints.

### Les $D_k$ :

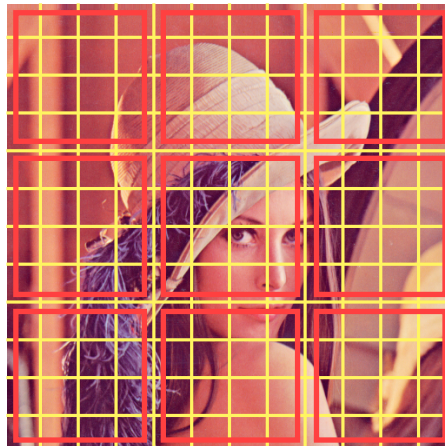
- deux fois la taille des  $R_i$  ;
- se chevauchent.



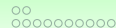
# Deuxième étape

Les « range blocks »

$R_i$



pixel

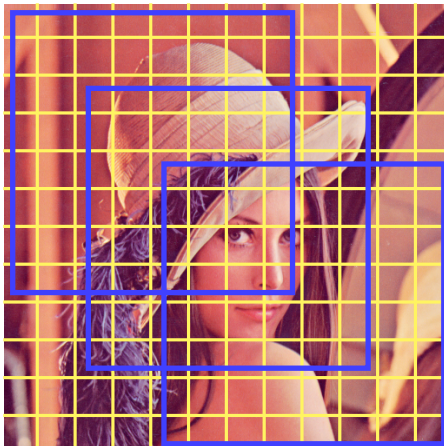


# Deuxième étape

Les « domain blocks »

$D_k$

pixel



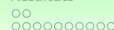
## Troisième étape

Recherche du meilleur  $D_k$  :

1. Fixer un  $R_i$ .
2. Abaisser les dimensions des  $D_k$  à celles du  $R_i$ .
3. Calculer les coefficients  $s_u$  et  $o_u$  :

$$\min \left\{ \chi^2 := \sum_{j=1}^n (s_u \cdot a_j + o_u - b_j)^2 \right\} \quad \text{où } u = Y, I \text{ ou } Q.$$

4. Garder les coefficients minimisant l'erreur  $\chi^2$ .
5. Générer la transformation associée aux coefficients optimums.



# Troisième étape

## Les symétries

**Point 4 :** appliquer les 7 symétries et rotations aux  $D_k$ .

- Réflexion selon  $x$  ;
- Réflexion selon  $y$  ;
- Réflexion selon  $y = x$  ;
- Réflexion selon  $y = -x$  ;
- Rotation de  $90^\circ$  ;
- Rotation de  $180^\circ$  ;
- Rotation de  $270^\circ$ .



# Troisième étape

## La transformation affine

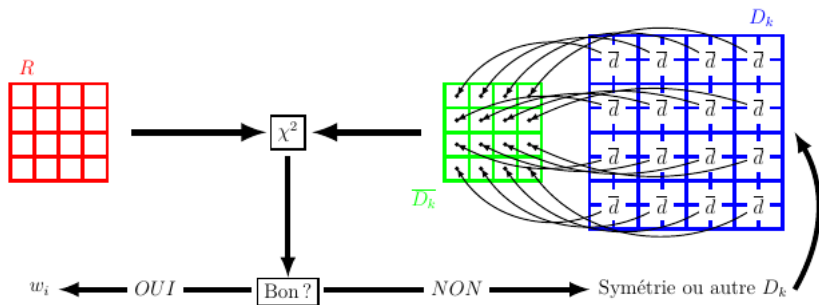
**Point 5 :** la transformation  $w_i$  sur chacune des composantes.

$$w(x, y, u) := \begin{pmatrix} \frac{1}{2} & 0 & 0 \\ 0 & \frac{1}{2} & 0 \\ 0 & 0 & s_u \end{pmatrix} \cdot \begin{pmatrix} D_x \\ D_y \\ u \end{pmatrix} + \begin{pmatrix} x_0 \\ y_0 \\ o_u \end{pmatrix}$$

où  $u := Y(x, y)$ ,  $I(x, y)$  ou  $Q(x, y)$ .

# Troisième étape

## Illustration des étapes



## Quatrième étape

Enregistrer toutes les contractions : un minimum de bits.

- les  $s_u$  et  $o_u$  gardés ;
- la position du  $D_k$  ;
- la symétrie utilisée.

## Cinquième étape

### Décompression :

- Une image quelconque en entrée.
- Application des contractions à l'image.
- Possibilité de lissage.
- Retour à la représentation *RGB*.

Introduction

Rappels

Méthodologie

Résultats

Pour une image en niveau de gris

Pour des images en couleur

Conclusion

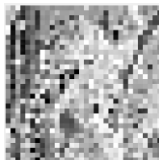
# Pour une image en niveau de gris

Illustration du procédé

Image départ



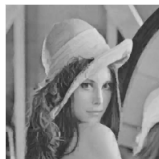
Itération 1



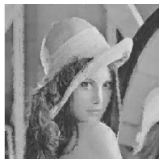
Itération 2



Itération 9



Itération 4



Itération 3



# Pour une image en niveau de gris

Illustration de l'invariance de l'image de départ

Image départ



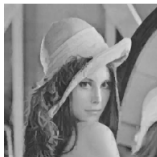
Itération 1



Itération 2



Itération 9



Itération 4



Itération 3



# Pour des images en couleur

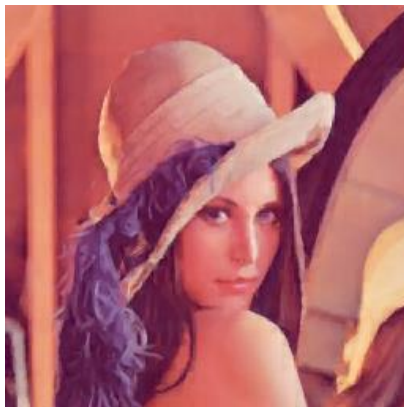
Image de Lenna 256 × 256 originale



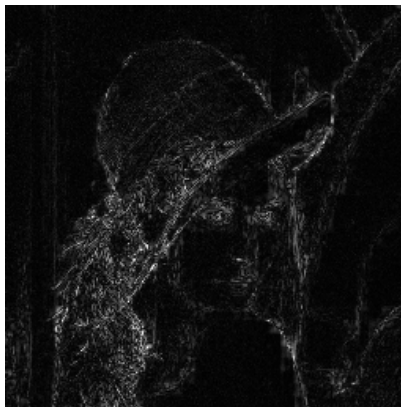


# Pour des images en couleur

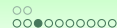
Taille  $256 \times 256$  et  $R = 8$



(a) Adoucie

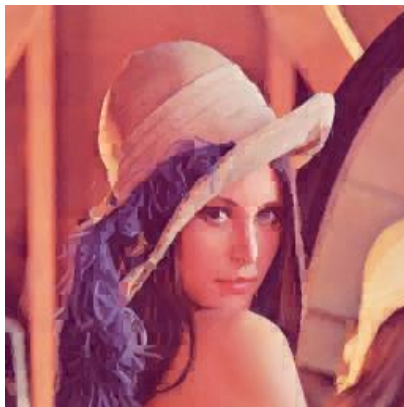


(b) Différence d'images

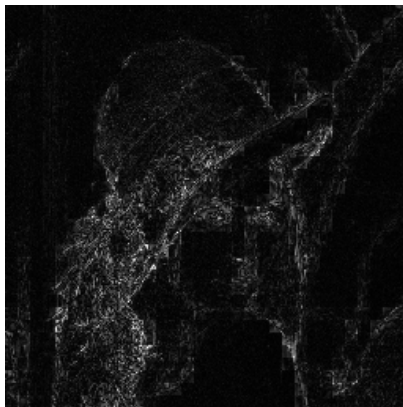


# Pour des images en couleur

Taille  $256 \times 256$  et  $R = 8$



(a) Brut



(b) Différence d'images

# Pour des images en couleur

Taille  $256 \times 256$  et  $R = 4$



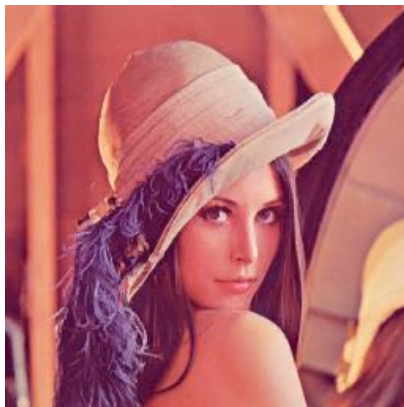
(a) Adoucie



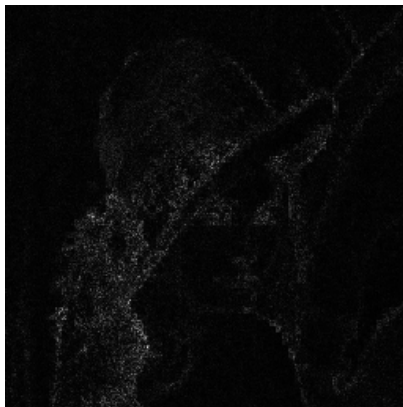
(b) Différence d'images

# Pour des images en couleur

Taille  $256 \times 256$  et  $R = 4$



(a) Brut



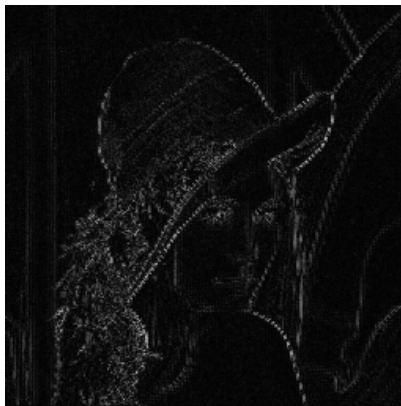
(b) Différence d'images

# Pour des images en couleur

Taille  $256 \times 256$  et  $R = 2$



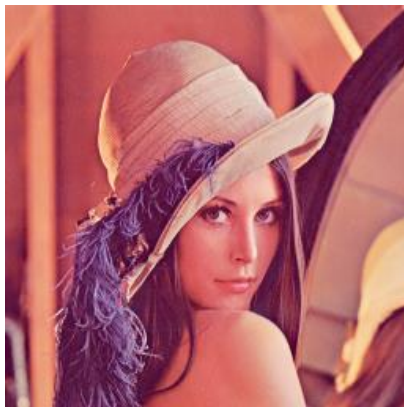
(a) Adoucie



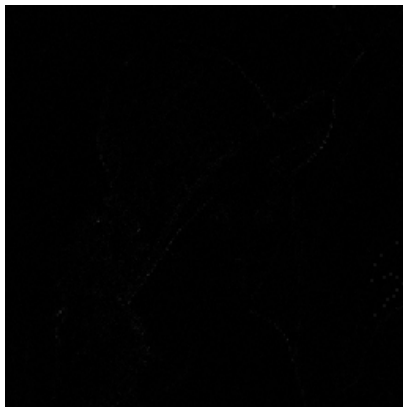
(b) Différence d'images

# Pour des images en couleur

Taille  $256 \times 256$  et  $R = 2$



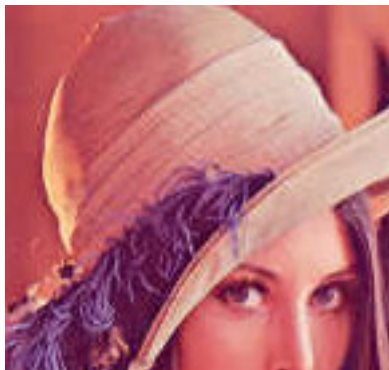
(a) Brut



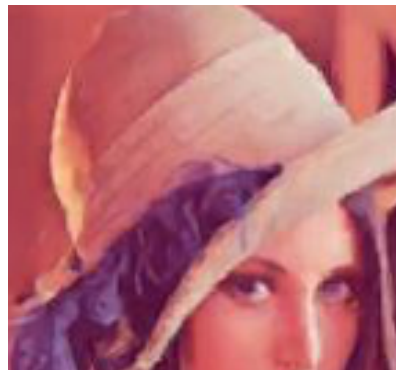
(b) Différence d'images

# Pour des images en couleur

Aspects visuels des carrés des algorithmes



(a) Format JPEG



(b) Format FCCI

# Pour des images en couleur

## Taille des fichiers

Image	R	Taille FCCI	Taille JPEG	Taille PNG	Ratio
L-64x64	8	650	3255	9030	13.89 :1
L-64x64	4	2594	3255	9030	3.48 :1
L-64x64	2	10370	3255	9030	0.87 :1
L-128x128	8	2786	8994	33101	11.88 :1
L-128x128	4	11138	8994	33101	2.97 :1
L-128x128	2	44546	8994	33101	0.74 :1
L-256x256	8	11906	27212	125271	10.52 :1
L-256x256	4	47618	27212	125271	2.63 :1
L-256x256	2	190466	27212	125271	0.66 :1
P-1920x960	8	399602	548790	7385829	18.48 :1



# Temps d'encodage et fidélité à l'image originale

Image	R	Encodage	Déc. adouci	Déc. brut	PSNR Adouci	PSNR Brut
L-64x64	8	272 ms	9	6	8.7679	8.59116
L-64x64	4	506 ms	12	6	12.86739	15.29051
L-64x64	2	1420 ms	21	6	12.37583	NaN
L-128x128	8	5.67 s	39	24	12.64667	12.73227
L-128x128	4	9.61 s	55	24	15.40411	18.32838
L-128x128	2	24.87 s	81	23	14.37288	NaN
L-256x256	8	2m 17.2s	245	133	14.86215	15.2005
L-256x256	4	3m 17.62s	277	139	17.46362	20.96746
L-256x256	2	7m 18.73s	425	135	16.34114	NaN
P-1920x960	8	18h 43m 28.59s	7440	5027	15.50346	15.48109

Introduction

Rappels

Méthodologie

Résultats

Conclusion

# Conclusion

## Méthode pertinente :

- Taux de compression très bon, spécialement avec des méthodes plus avancées.
- Temps de décompression très rapide.
- Par contre, le temps de compression est un facteur négatif.

## Exploration de techniques plus avancées :

- *Quadtree*
- *HV Partitioning*

## Pourrait être utilisé à l'avenir comme alternative à JPEG

- Pour diminuer l'effet de pixellisation.